

*На правах рукописи*

**ЗАРУБИН Иван Владимирович**

**ГИДРОХИМИЧЕСКИЙ СИНТЕЗ, СОСТАВ, СТРУКТУРА,  
ФУНКЦИОНАЛЬНЫЕ СВОЙСТВА ПЛЕНОК PbS, Cu<sub>2</sub>S, PbSe, Te ДЛЯ  
КОНТРОЛЯ ВОДНЫХ СРЕД**

Специальность 02.00.04 – физическая химия

**АВТОРЕФЕРАТ**  
диссертации на соискание ученой степени  
кандидата химических наук

Екатеринбург – 2014

Работа выполнена на кафедре физической и коллоидной химии Федерального государственного автономного образовательного учреждения высшего профессионального образования «Уральский федеральный университет имени первого Президента России Б.Н. Ельцина»

**Научный руководитель:**

**Марков Вячеслав Филиппович**

доктор химических наук, профессор  
ФГАОУ ВПО «Уральский федеральный университет имени первого Президента России Б.Н. Ельцина», заведующий кафедрой физической и коллоидной химии

**Официальные оппоненты:**

**Захарова Галина Степановна,**

доктор химических наук, старший научный сотрудник, ФГБУН Институт химии твердого тела Уральского отделения РАН, главный научный сотрудник лаборатории химии редких элементов

**Шуняев Константин Юрьевич,**

доктор химических наук, ФГБУН Институт металлургии Уральского отделения РАН, заведующий лабораторией аналитической химии

**Ведущая организация:**

ФГБОУ ВПО «Челябинский государственный университет»

Защита состоится «24» декабря 2014 года в 13-00 часов на заседании диссертационного совета Д 004.002.01 при Институте высокотемпературной электрохимии УрО РАН по адресу: г. Екатеринбург, ул. Академическая, 20, конференц-зал

Ваши отзывы на автореферат в двух экземплярах, подписанные и заверенные гербовой печатью, просим высылать по адресу: 620990, г. Екатеринбург, ул. Академическая, 20, Институт высокотемпературной электрохимии УрО РАН, ученному секретарю диссертационного совета Кулик Нине Павловне ([n.p.kulik@ihte.uran.ru](mailto:n.p.kulik@ihte.uran.ru)), факс: +7 (343) 374-59-92)

С диссертацией можно ознакомиться в Центральной научной библиотеке УрО РАН г. Екатеринбург, ул. Софьи Ковалевской, 20 и на сайте института по адресу: [http://www.ihte.uran.ru/?page\\_id=4273](http://www.ihte.uran.ru/?page_id=4273).

Автореферат разослан «\_\_\_» 2014 г.

Ученый секретарь диссертационного совета,  
кандидат химических наук

Н.П. Кулик

## **ОБЩАЯ ХАРАКТЕРИСТИКА РАБОТЫ**

**Актуальность работы.** Ухудшение экологической обстановки требует усиления мер, направленных на контроль за загрязнениями окружающей среды, в частности, воды. Актуальной является проблема экспресс-определения в природных и сточных водах тяжелых цветных металлов, меди в воде энергетических котлов ТЭЦ, токсичных компонентов в речной воде и биологических средах. В связи с этим существует насущная необходимость в создании простых, удобных и недорогих устройств для экспресс-контроля состава водных растворов, особенно в случае их предельного разбавления.

Для создания таких устройств используют, как правило, химические сенсоры на основе полимерных композитов, простых и сложных оксидов, получаемых исключительно высокотемпературными и вакуумными технологиями. Перспективными материалами для сенсоров являются тонкие химически осажденные пленки халькогенидов металлов с высокой поверхностной активностью. Однако в литературе практически нет данных об их применении в этом качестве. В известных обзорах по химическим сенсорам они не упоминаются.

Эффективной технологией получения тонкопленочных халькогенидов является гидрохимическое осаждение, отличающееся простотой и гибкостью управления процессом, широкими возможностями варьирования состава, структуры и функциональных свойств за счет допирования в процессе синтеза. В настоящей работе в качестве материалов для высокочувствительных химических сенсоров для анализа водных растворов рассматриваются гидрохимически осажденные халькогениды, в частности, пленки сульфидов свинца и меди (I), селенида свинца, теллура. Установление их поверхностной чувствительности к ряду токсичных компонентов в водных растворах, а также определение факторов, повышающих эту чувствительность, является актуальной научной задачей, поскольку расширяет представления о классе тонкопленочных халькогенидных материалах и позволяет найти новые области их применения.

Работа выполнялась в рамках единого заказ-наряда УрФУ по госбюджетной НИР № 1279 (№ ГР 01990005947) «Разработка физико-химических основ получения из водных сред материалов на основе халькогенидов, оксидов и галидов металлов с широким спектром заранее заданных электрофизических и химических свойств» (2009 – 2011).

**Целью настоящей работы** являлось определение условий гидрохимического синтеза пленок халькогенидов металлов, теллура и установление взаимосвязи между кристалли-

ческой структурой, морфологией, составом и их сенсорными свойствами. Достижение поставленной цели потребовало решения следующих **задач**:

1. Провести гидрохимический синтез тонких пленок сульфидов свинца, меди (I), селенида свинца, теллура, способствующий образованию слоев с высокоразвитой поверхностью.
2. Определить фазовый и элементный состав, структуру, морфологию, удельную поверхность и толщину полученных пленок.
3. Исследовать отклик пленок сульфидов свинца, меди (I), селенида свинца к присутствию в водных растворах ионов тяжелых цветных металлов, ряда анионов и компонентов биологических сред, отклик пленок теллура к величине pH водного раствора.
4. Установить влияние фотоактивации и допирования пленок PbS галогенами на поверхностно-чувствительные свойства.
5. Определить влияние состава, структуры и морфологических особенностей на сенсорные свойства пленок халькогенидов металлов; предложить механизм их действия.

### **Научная новизна**

1. Впервые с учетом образования полиядерных комплексов свинца методом расчета ионных равновесий определены граничные условия осаждения сульфида свинца в цитратно-аммиачной системе; селенида свинца с учетом доли превращения соли свинца, а также граничные условия образования сульфида меди (I) из ацетатной системы при осаждении тиомочевиной.
2. Установлены структура, элементный состав и морфологические особенности пленок PbS, Cu<sub>2</sub>S, PbSe, Te, осажденных в условиях, способствующих образованию высокоразвитой поверхности.
3. Определено физико-химическое влияние состава и микроструктуры на поверхностную чувствительность допированных галогенами гидрохимически осажденных пленок PbS; слоев PbS, Cu<sub>2</sub>S, PbSe по отношению к ионам тяжелых цветных металлов, ртути, фосфат- и сульфид-ионам; пленки теллура – к pH водного раствора. Установлен в целом обратимый характер процессов взаимодействия “пленка халькогенида металла – водный раствор”.
4. Впервые найдены электродные функции наноструктурированных пленок PbS и PbSe к ионам свинца в диапазоне концентраций  $10^{-2} - 10^{-8}$  моль/л с пределом обнаружения до 0.6 мкг/л; на основе Cu<sub>2</sub>S – к меди (II) с пределом обнаружения до 3.5 мг/л; на основе тел-

лутра – к рН среды в диапазоне от 3.0 до 12.5. Выявлена избирательность гидрохимически осажденных пленок PbS, PbSe к свинцу в присутствии солей цинка, никеля и меди.

5. Установлены положительная роль фотоактивации поверхности пленок PbS и влияние допирования галогенид-ионами на их функциональные свойства.

6. Впервые установлено протекание процесса восстановления меди (II) до одновалентного состояния при переходе ее из водного раствора в фазу химически осажденной пленки сульфида свинца.

7. Выявлено, что чувствительность исследованных пленок к халькофильным металлам находится в асимметричной зависимости от произведения растворимости их сульфидов и степени их текстурированности, а также коррелирует с величиной удельной поверхности слоев. Предложены механизмы сенсорного действия исследованных пленок, в основе которых лежат представления о строении и составе двойного электрического слоя на межфазной границе “пленка – раствор” и химическом сродстве элементов.

### **Практическая значимость работы**

1. Установлены условия гидрохимического осаждения и синтезированы допированные галогенами поверхностно-активные пленки PbS, PbSe, пленки Cu<sub>2</sub>S из ацетатной системы, пленки теллура путем восстановлением теллурита калия солянокислым гидразином.

2. Разработаны и изготовлены экспериментальные образцы тонкопленочных сенсорных элементов на основе гидрохимически осажденных наноструктурированных пленок PbS, PbSe, Cu<sub>2</sub>S, обладающих чувствительностью по отношению к ионам тяжелых цветных металлов в водных растворах при концентрациях ниже ПДК.

3. Показана возможность определения ртути, иодид-, нитрит-, фосфат- и сульфид-ионов в водных растворах тонкопленочными сенсорными элементами на основе PbS; рН водных растворов в диапазоне 3.0 – 12.5 сенсорами на основе пленки теллура.

4. На примере определения рН биологических сред продемонстрирована перспективность использования сенсорных элементов на основе комбинации пленок двух халькогенидов металлов.

### **Положения диссертации, выносимые на защиту:**

1. Результаты расчета областей образования при гидрохимическом осаждении сульфида и селенида свинца в цитратно-аммиачной системе с учетом образования полиядерных комплексов свинца и температуры процесса, граничных условий образования сульфида меди (I) из ацетатной системы тиомочевиной, элементарного теллура путем восстановления теллурита калия солянокислым гидразином.

2. Результаты определения элементного и фазового состава поверхности, структуры, морфологии гидрохимически осажденных пленок PbS, Cu<sub>2</sub>S, PbSe, Te. Влияние допирования, фотоактивации и структурно-морфологических характеристик осажденных пленок на их чувствительность к содержанию тяжелых цветных металлов в водных средах.
3. Сенсорные свойства гидрохимически осажденных тонких пленок сульфида и селенида свинца, сульфида меди (I) по отношению к содержанию в водных растворах халькофильных элементов; пленок элементарного теллура к pH среды (чувствительность, время отклика, предел обнаружения, рабочая область pH, селективность, воспроизводимость и др.).
4. Механизм сенсорного действия исследованных пленок к ионам тяжелых цветных металлов в водных средах.

**Личный вклад** Зарубина И.В. в получении научных результатов, изложенных в диссертации, заключается в том, что им самостоятельно проведен анализ научной литературы по тематике диссертационной работы, выполнены термодинамические расчеты условий образования тонкопленочных фаз халькогенидов металлов и теллура, осуществлен их синтез и проведена их комплексная аттестация по составу, структуре, функциональным свойствам; обработаны экспериментальные данные, полученные методами РФЭ-спектроскопии, растровой электронной и атомно-силовой микроскопии; рентгеноспектрального электронного микрозондового анализа; проанализированы, систематизированы и интерпретированы полученные результаты. Выбор направления исследования, формулировка задач и обсуждение части результатов проводилось совместно с научным руководителем д.х.н. Марковым В.Ф. Рентгеновская фотоэлектронная спектроскопия проводилась совместно с Кузнецовым М.В. (д.х.н., заведующий лабораторией квантовой химии и спектроскопии ИХТТ УрО РАН), рентгеноструктурный анализ – Ворониным В.И. (к.ф.-м.н., ст.н.с. ИФМ УрО РАН), сканирующая зондовая микроскопия – Ермаковым А.Н. (к.х.н., ст.н.с. ИХХТ УрО РАН), ЭПР-спектроскопия – Ковалевой Е.Г. (к.х.н., проф., УрФУ), КР-спектроскопия – Вовкотруб Э.Г. (к.т.н., ст.н.с. ИВТЭ УрО РАН), атомно-силовая микроскопия – Катышевой А.С. (аспирантка УрФУ).

**Апробация работы.** Материалы диссертации в форме докладов и сообщений обсуждались на XVIII Международной конференции молодых ученых по приоритетным направлениям развития науки и техники (Екатеринбург, 2010), Всероссийской конференции с элементами научной школы для молодежи (Казань, 2010), V Международной научной

конференции «Научный потенциал XXI века» (Ставрополь, 2011), VIII Национальной конференции «Рентгеновское, Синхротронное излучения, Нейтроны и электроны для исследования наносистем и материалов Нано-Био-Инфо-Когнитивные технологии» (Москва, 2011), XI Международной конференции “Проблемы сольватации и комплексообразования в растворах» (Иваново, 2011), VII Miedzynarodowej naukowi-praktycznej konferencji “Perspektywiczne opracowania sa nauka I technikamu – 2011” (Poland, Przemysl, 2011), Международный конгресс «Фундаментальные основы технологий переработки и утилизации техногенных отходов» (Екатеринбург, 2012).

**Публикации.** По теме диссертации опубликовано 4 статьи в журналах, рекомендованных ВАК, и 7 тезисов докладов и статей в трудах Международных и Всероссийских конференций.

**Структура и объем диссертации.** Диссертационная работа состоит из введения, пяти глав с выводами, общих выводов и библиографического списка, включающего 232 наименований цитируемой литературы. Работа изложена на 168 страницах, содержит 75 рисунков и 23 таблицы.

## **ОСНОВНОЕ СОДЕРЖАНИЕ РАБОТЫ**

**Во введении** обоснована актуальность выбранной темы, сформулированы цели и задачи диссертационного исследования, раскрыта его научная новизна и практическая значимость, изложены основные положения, выносимые на защиту, а также приведены результаты апробации работы.

**В первой главе** проведен литературный обзор имеющихся публикаций о современном состоянии анализа водных сред. Представлены основные химические и физико-химические методы анализа, указаны их основные преимущества и недостатки. Подробно описана работа и механизм действия ионоселективных электродов (ИСЭ), которые можно рассматривать в качестве прототипа сенсорных элементов на основе тонких пленок халькогенидов металлов. Отмечены основные характеристики ИСЭ. Наиболее распространенным методом получения ИСЭ является высокотемпературное спекание высокочистых индивидуальных компонентов в глубоком вакууме. Представлены основные материалы ионоселективных электродов на основе халькогенидных материалов, используемые для анализа водных растворов. Показаны принципы их работы и основные области применения. Выявлены их недостатки.

Альтернативный высокотемпературным и вакуумным технологиям получения пленочных материалов является метод химического осаждения из водных сред. Данный метод позволяет химически мягко формировать структуру материала, а при определенных условиях изменять его состав и поверхностно-морфологические свойства, тем самым расширяются возможности получения химических сенсоров на основе тонких пленок халькогенидов металлов с требуемым набором сенсорных свойств. Данных о разработке и применении химических сенсоров на основе тонких пленок халькогенидов металлов и теллура, полученных химическим осаждением из водных сред, в литературе практически не встречается. Отсутствуют четкие представления о взаимосвязи между микроструктурой, составом, морфологией и поверхностно-чувствительными свойствами пленок.

**Во второй главе** описаны исходные реагенты и материалы, метод синтеза основных объектов исследования. Указаны использованные методики исследования пленок и дана их краткая характеристика.

Пленки сульфида свинца получали из водного раствора, содержащего ацетат свинца, цитрат натрия, гидроксид аммония и тиомочевину. Осаждение вели в термостате «Ultra-Thermostat U–10» в течение 90 минут при температуре 353 К с точностью поддержания  $\pm 0.1$  К.

Синтез пленок селенида свинца осуществляли из водного раствора, содержащего ацетат свинца, цитрат натрия, гидроксид и йодид аммония, селеномочевину и сульфит натрия. Осаждение вели в течение 60 минут при температуре 373 К.

Для осаждения пленок сульфида меди (I) использовали следующий состав реакционной смеси: сульфат меди (II), ацетат натрия, уксусная кислота и тиомочевина. Осаждение вели в течение 45 минут при температуре 373 К и рН, равном 5.35 – 5.40.

Гидрохимическое осаждение пленок теллура проводили путем восстановления теллурита калия солянокислым гидразином. Осаждение вели при 353 К и рН = 9.0 в течение 60 минут.

Измерение толщины полученных пленок проводили оптическим методом путем снятия спектров отражения на инфракрасном спектрофотометре фирмы «Bruker» в интервале волновых чисел  $1000 - 7000 \text{ см}^{-1}$ .

Рентгенограммы полученных пленок снимали на дифрактометре ДРОН-4.0 в  $\text{Cu}_{K\alpha}$ -излучении в интервале углов  $2\theta$  от 20 до 100 градусов в режиме пошагового сканирования с  $\Delta(2\theta) = 0.03 - 0.05^\circ$  и временем накопления сигнала в точке 5 сек.

Для исследования морфологии поверхности и элементного состава пленок использовали метод растровой (сканирующей) электронной микроскопии (РЭМ) с рентгеноспектральным электронным микрозондовым анализом (EDX).

Электронно-микроскопический и элементный анализ проводили на микроскопе MIRA3LMV при ускоряющем напряжении электронного пучка 10 кВ. Для изучения микрорельефа и оценки удельной поверхности пленок использовался сканирующий микроскоп Фемтоскан в режиме резонансной атомно-силовой микроскопии (РАСМ).

Размер микрокристаллов определяли по данным электронно-микроскопических исследований и по результатам рентгеновского анализа с использованием формулы Селякова-Шеррера. Фазовый анализ пленок проводили на рамановском микроскоп-спектрометре U 1000 RENISHAW RAMASCOPE.

Для химического анализа поверхности пленок использовался метод рентгеновской фотоэлектронной спектроскопии, который проводили на спектрометре *VG-ESCALAB-MK-I* с магниевым и алюминиевым катодами в качестве источников немонохроматического рентгеновского излучения MgKa и AlKa.

ЭПР-спектроскопию проводили на спектрометре Bruker Elexys-II-CW E500. Регистрация спектров проводилась при следующих параметрах: развертка – 6500 Гс, центральное поле – 3300 Гс, амплитуда модуляции – 6 Гс, ослабление СВЧ мощности 10 dB.

**В третьей главе** приведены результаты расчета граничных условий осаждения исследуемых материалов, а также сопутствующих им фаз (гидроксидов и цианамидов металлов).

Расчет граничных условий образования слоев сульфида свинца в цитратно-аммиачной системе проводили по разработанной ранее методике [1]. Анализ ионных равновесий в растворе соли металла и халькогенизатора позволил установить ориентировочный состав реакционной смеси и наметить область pH, в которой способны образовываться слои сульфида свинца, свободные от примесных фаз и с развитой удельной поверхностью. Для повышения точности расчетов был учтен кристаллизационный фактор, т.е. образование частиц критического размера. Кроме того, при расчетах впервые было учтено образование в системе полиядерных гидроксокомплексов свинца, а также впервые найдены граничные условия образования при 353 К с учетом температурных зависимостей термодинамических констант. По результатам расчета для синтеза пленок PbS были выбраны следующие концентрации основных элементов:  $[Pb(CH_3COO)_2] = 0.02$  моль/л,  $[CS(NH_2)_2] = 0.40$  моль/л,  $pH = 11 \div 12$ . Граничные условия образования сульфида, гидро-

ксида, цианамида свинца при 353 К представлены на рис. 1 в координатах  $pC_H = f(pH)$ , где  $pC_H$ -показатель начальной концентрации соли свинца.

По аналогичной методике впервые были определены граничные условия образования сульфида меди (I) в ацетатной системе при осаждении тиомочевиной. В результате была сформирована реакционная смесь для осаждения слоев сульфида меди (I), моль/л:  $[CuSO_4] = 0.03$ ,  $[CH_3COONa] = 2.00$ ,  $[CS(NH_2)_2] = 0.16$ ,  $pH = 5.35 \div 5.40$ . Результаты расчетов в графической форме представлены на рис. 2.

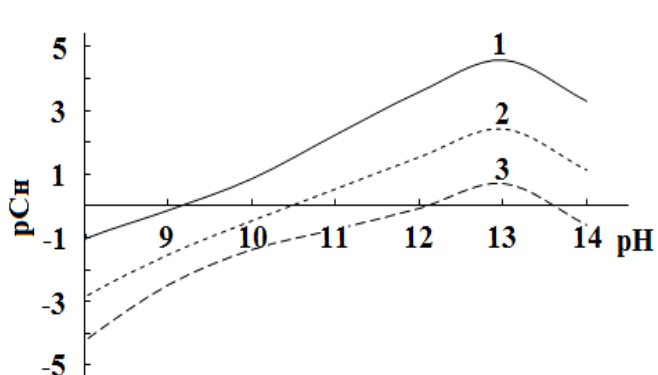


Рис. 1. Граничные условия образования сульфида (1), гидроксида (2), цианамида (3) свинца из цитратно-аммиачной реакционной смеси при температуре 353 К.

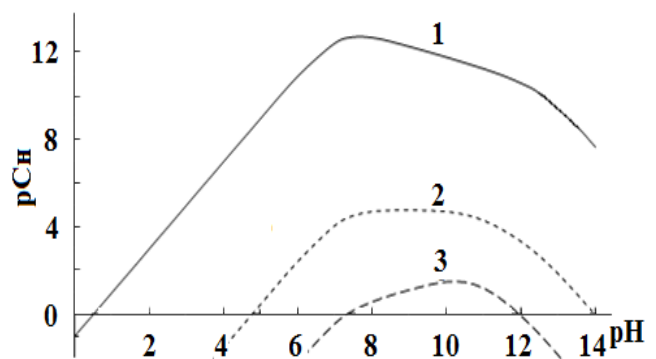


Рис. 2. Граничные условия образования сульфида меди (I) (1), гидроксида меди (2) и цианамида меди (3) при 298 К в ацетатной системе

Расчет граничных условий образования PbSe в цитратно-аммиачной системе был выполнен с учетом доли превращения соли свинца в селенид и образования в системе полиядерных комплексов свинца. Результаты расчета (рис. 3) позволили сформировать состав реакционной смеси и установить оптимальную область  $pH$ :  $[Pb(CH_3COO)_2] = 0.02$  моль/л,  $[Na_3C_6H_5O_7] = 0.35$  моль/л,  $[NH_4OH] = 0.25$  моль/л,  $[CSe(NH_2)_2] = 0.05$  моль/л,  $[NH_4I] = 0.05$  моль/л,  $pH = 12.0 \div 13.5$ . Температура синтеза 353 К.

Важным этапом расчета условий осаждения теллура был анализ ионных состояний теллура и гидразина в зависимости от  $pH$ . В работе был выполнен расчет окислительно-восстановительных потенциалов теллурида калия, гидразина и их разности в зависимости от реакции среды.

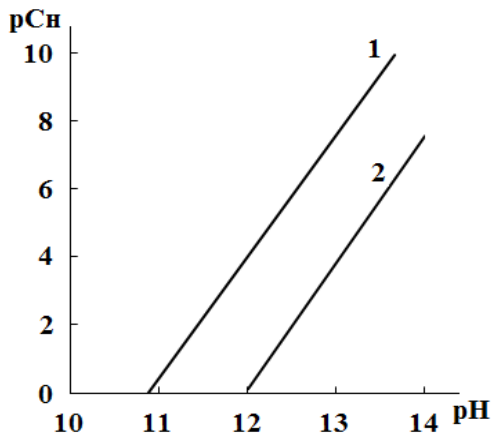
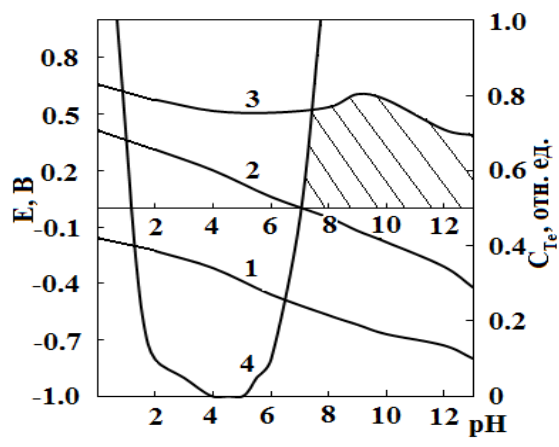


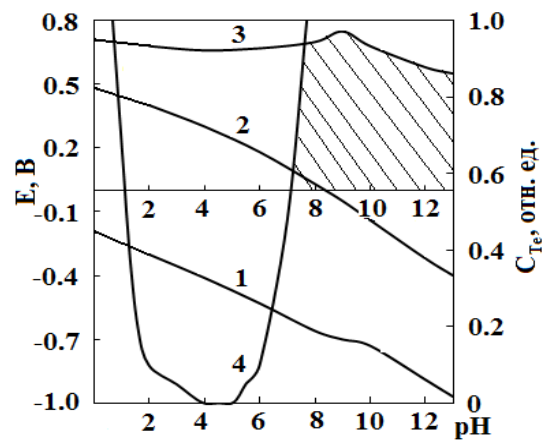
Рис. 3. Граничные условия образования селенида PbSe при доле превращения соли свинца в селенид 0.05 (1) и 0.95 (2).

Температура 293 К

Проведенный термодинамический анализ с учетом образования устойчивой фазы  $\text{TeO}_2$  показал возможность восстановления теллурита калия до теллура в щелочной области  $\text{pH}$  (рис. 4). Был сформирован следующий состав реакционной смеси:  $[\text{K}_2\text{TeO}_3] = 0.02$  моль/л,  $[\text{N}_2\text{H}_4 \cdot 2\text{HCl}] = 1.00$  моль/л,  $\text{pH} = 9$ .



*a*



*б*

Рис. 4. Зависимость О-В потенциалов гидразина  $\varphi_{\text{N}_2/\text{N}_2\text{H}_4}$  (1), теллурит ионов  $\varphi_{\text{Te}/\text{TeO}_3^{2-}}$  (2) и их разности (3) для реакций с участием  $\text{N}_2\text{H}_4$  (*a*) и  $\text{N}_2\text{H}_5^+$  (*б*) от  $\text{pH}$  реакционной смеси. Область образования  $\text{TeO}_2 \cdot n\text{H}_2\text{O}$  (4)

**В четвертой главе** приведены результаты комплексного исследования элементного и фазового состава, структуры и морфологии пленок сульфидов свинца, меди (I), селенида свинца и теллура. Особое внимание было уделено исследованию поверхности.

Обзорный РФЭ-спектр поверхности пленки сульфида свинца представлен на рис. 5 *a*. В спектре пленки PbS наблюдаются фотоэлектронные и Оже-линии Pb, S, O и C. Наличие кислорода на поверхности пленки объясняется наличием кислородсодержащих фаз. Углерод, присутствующий на поверхности пленки, входит, вероятно, в состав продук-

тов разложения тиомочевины. Анализ индивидуальных РФЭ-спектров электронных уровней свинца, серы и кислорода показал, что свинец на поверхности представлен фазами PbS и PbO.

При изучении пленок сульфида свинца методом рентгеновской дифракции была найдена постоянная кристаллической решетки, равная 0.593(1) нм, которая оказалась несколько меньше справочного значения 0.5936 нм для монокристаллического PbS со структурой *B1* (NaCl). Все пленки имеют выраженную преимущественную ориентацию кристаллитов вдоль оси направления роста грани [111] и [220]. Формирование этих граней осуществляется атомами одного сорта. Электронно-микроскопические исследования пленок сульфида свинца, подтвердили, что пленка состоит из кристаллитов кубической формы со средним размером 340 нм.

Микрорельеф пленки сульфида свинца был исследован с использованием метода резонансной атомно-силовой микроскопии. На рис. 5 б представлен скан ( $2 \times 2$  мкм) поверхности PbS. На АСМ-изображении поверхности пленки видно, что зерна, формирующие сплошную поверхность, имеют форму глобул с размерами в пределах от 80 до 500 нм. Наибольшая высота рельефа составила 200 нм; средний перепад рельефа – 51.1 нм. Расчетная удельная поверхности пленки –  $21 \text{ м}^2/\text{cm}^3$ . Толщина пленки составила 600 нм.

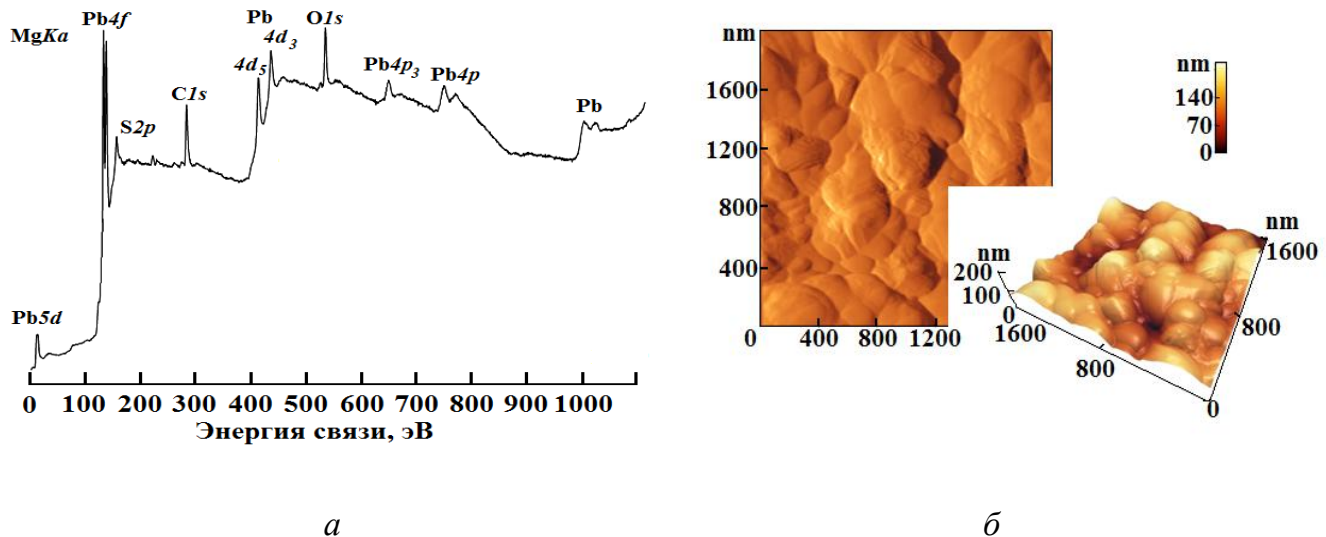


Рис. 5. Обзорный рентгено-фотоэлектронный спектр (*а*) и АСМ-изображение (*б*) поверхности пленки PbS, полученной из цитратно-аммиачной системы

Анализ рентгенограмм пленок селенида свинца показал, что основные рефлексы соответствуют кристаллической фазе PbSe, имеющей кубическую структуру *B1*, характерную для этого соединения. Пленка селенида свинца имеет ориентацию вдоль направления оси роста граней [200] и [220]. По результатам исследования микроизображения установ-

лено, что пленка состоит из однородных имеющих четкую огранку кристаллитов, равномерно покрывающих поверхность подложки со средним размером около 200 нм. Толщина полученных слоев PbSe составила 500 нм.

С помощью РФЭ-спектроскопии определен химический состав поверхности пленки селенида свинца. Так, на рис. 6 *а* представлен ее обзорный РФЭ-спектр. Анализ полученного спектра показал наличие фотоэлектронных и Оже-линий Pb, Se, O и C. На обзорном спектре также обнаружен йод, который добавлялся при синтезе в качестве сенсибилизирующей добавки. Дополнительно исследовались индивидуальные РФЭ-спектры электронных уровней свинца и селена. По положениям энергетических линий удалось идентифицировать соединения, в состав которых входят Pb и Se. Энергии связи 136.90 и 138.05 эВ для 4*f*-уровня свинца соответствуют селениду свинца и его оксиду. Селен представлен в виде селенида свинца (53.68 эВ), элементарных включений и соединений типа Se<sup>2+</sup>–O (энергия связи 57.76 эВ). Величина энергии связи 3*d*-уровня йода, равная ~619.5 эВ, отвечает его химическому соединению со свинцом PbI<sub>2</sub>.

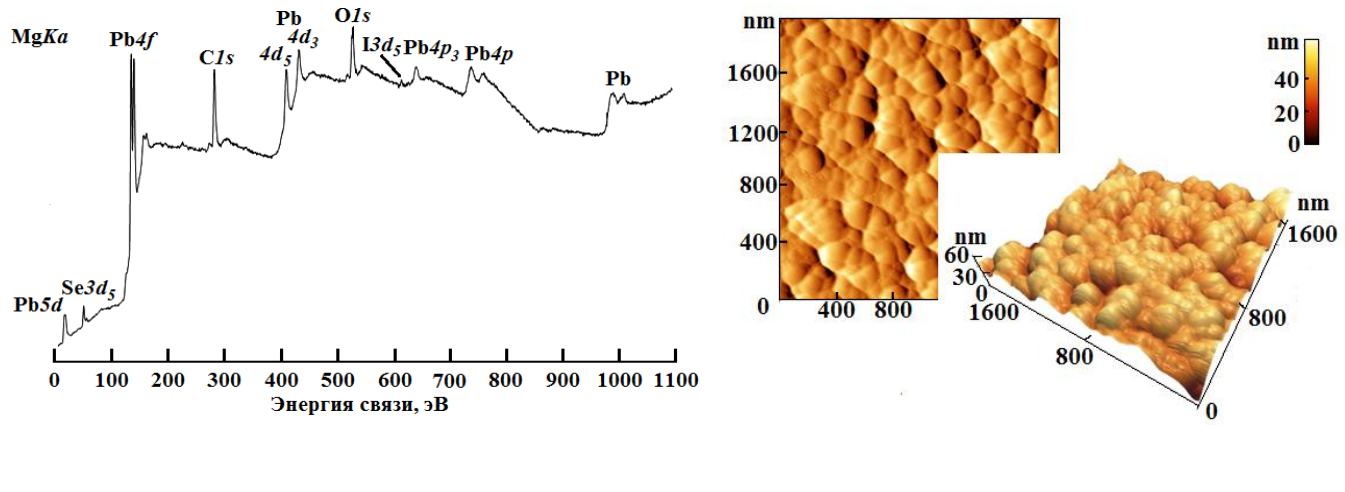


Рис. 6. Обзорный рентгено-фотоэлектронный спектр (*а*) и АСМ-изображение (*б*) поверхности пленки PbSe, полученной из цитратно-аммиачной системы

Элементный состав объема пленок был определен энергодисперсионным анализом. В результате было установлено содержание селена в слое на уровне 45.87 % ат. и свинца 54.13 % ат. Это свидетельствует о некоторой нестехиометрии PbSe, что объясняется образованием при синтезе кислородсодержащих соединений свинца.

С помощью метода резонансной атомно-силовой микроскопии был исследован микрорельеф пленки селенида свинца. На рис. 6 *б* представлен скан (2×2 мкм) поверхности PbSe.

На АСМ-изображении видно, что зерна имеют форму глобул с размерами от 30 до 90 нм, которые образуют ассоциаты до 480 нм. Наибольшая высота рельефа – 60 нм, перепад рельефа – 16.2 нм. Удельная площадь поверхности пленки составила  $30 \text{ м}^2/\text{см}^3$ .

По данным энергодисперсионного анализа элементный состав пленки сульфида меди (I), полученной из ацетатной системы при pH 5.35 – 5.40 соответствует брутто-формуле. Обзорный РФЭ-спектр поверхности пленки представлен на рис. 7 а. В спектре пленки  $\text{Cu}_2\text{S}$  наблюдаются фотоэлектронные и Оже-линии меди, серы, кислорода и углерода. Результаты РФЭ-анализа элементного состава поверхности показали, что основными элементами поверхностного слоя являются медь – 46.89 ат. %, сера – 29.96 ат. %, и кислород – 23.15 ат. %. Были определены положения пиков, характеризующих энергию связи атомов указанных элементов.

Анализ спектров  $\text{Cu}2p$ -состояний меди определил энергию связи в 932.4 эВ, которая соответствует сульфиду меди (I). Установлено, что сера находится в нескольких состояниях.

Энергия связи  $\text{S}2p$ -состояний 161.3 эВ соответствует соединению  $\text{Cu}_2\text{S}$ , а 163.0 и 166.8 эВ – сульфатным фазам серы. По рентгеноэлектронным  $\text{O}1s$ -спектрам кислорода пленки сульфида меди (I) видно, что кислород представлен в виде нескольких фаз:  $\text{Cu}_2\text{O}$  – энергия связи 531.5 эВ и органические соединения кислорода (532.9 эВ).

На рис. 7 б приведено электронно-микроскопическое изображение слоя при увеличении  $\times 100\,000$ . Анализ изображения показывает, что осажденная пленка состоит из кристаллитов сферического габитуса, размеры которых находятся в пределах 70–80 нм. Удельная площадь поверхности пленки составляет  $80.2 \text{ м}^2/\text{см}^3$ . Толщина пленки – 300 нм.

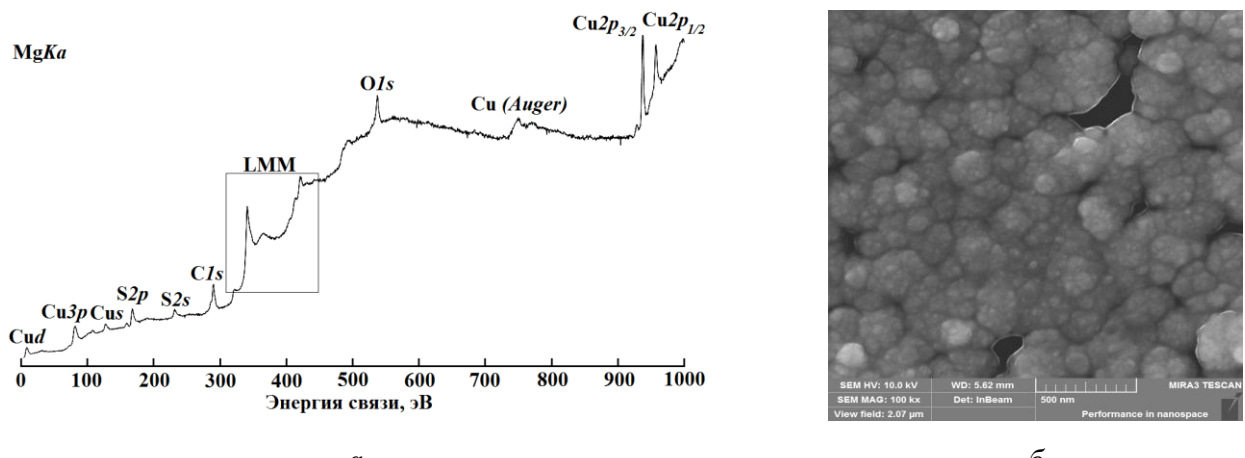


Рис. 7. Обзорный рентгено-фотоэлектронный спектр (а) и электронно-микроскопическое изображение пленки  $\text{Cu}_2\text{S}$ , осажденной из ацетатной системы.  
Увеличение  $\times 100\,000$  (б)

Анализ рентгенограммы теллура идентифицировал только гексагональную структуру типа A8, характерную для кристаллов теллура, и дифракционные отражения ситалловой подложки (основной компонент – диоксид титана). Преимущественное направление роста микрокристаллитов осуществляется вдоль оси [101].

Представленное электронно-микроскопическое изображение свежеосажденной пленки теллура (рис. 8 *a*) демонстрирует, что слой сформирован из кристаллитов, размер которых не превышает 100 нм. Обращает на себя внимание форма микрокристаллов теллура, представляющих собой ограненные частицы прямоугольной формы длиной от 0.2 до 0.5 мкм и шириной от 0.1 до 0.2 мкм, достаточно равномерно распределенные по подложке. Толщина осажденного слоя теллура составила около 250 нм.

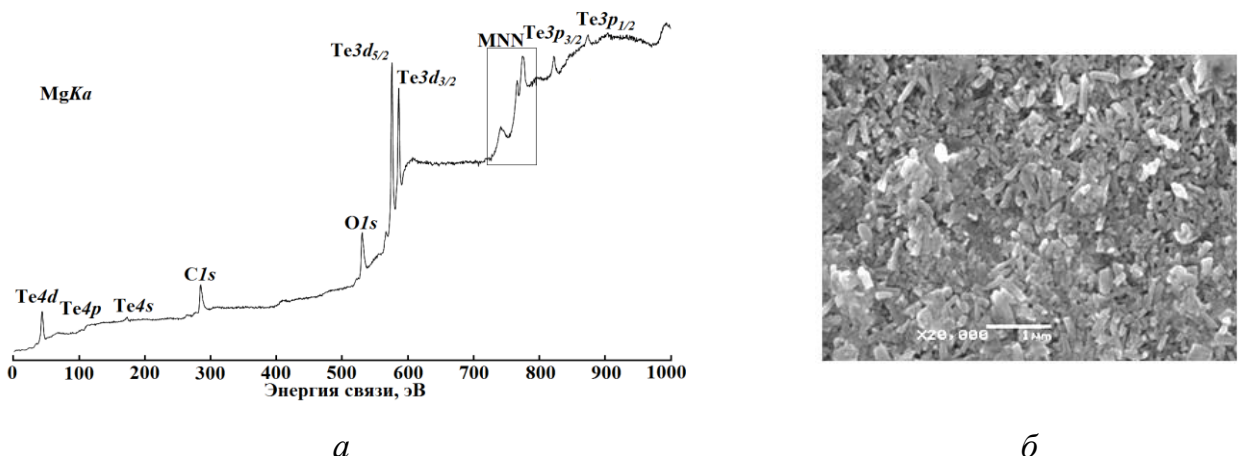


Рис. 8. Обзорный рентгено-фотоэлектронный спектр (*а*) и электронно-микроскопическое изображение свежеосажденной пленки теллура (*б*)

Обзорный РФЭ-спектр пленки теллура представлен на рис. 8 *б*, анализ которого показывает, что на поверхности присутствуют три основных элемента – это теллур, кислород и углерод. Из анализа спектров  $3d$  – состояния теллура были определены энергии связи – 573.7 эВ и 576.6 эВ, которые соответствуют состоянию теллура элементарного и оксида теллура ( $\text{TeO}_2$ ). По рентгеноэлектронным  $1s$ -спектрам кислорода пленки теллура видно, что этот элемент представлен в составе нескольких фаз:  $\text{TeO}_2$  – энергия связи 530.8 эВ и в меньшей степени органических соединений (532.4 эВ; 533.7 эВ). Методом рамановской спектроскопии также подтверждено наличие фаз кристаллического теллура и его оксида (IV).

**В пятой главе** описаны результаты исследования сенсорных свойств осажденных пленок сульфида и селенида свинца, сульфида меди(I) и теллура. С этой целью изготавливались экспериментальные чувствительные элементы размером  $4 \times 12$  мм. В качестве отклика

сенсорного элемента принимали значение разности потенциалов между ним и хлорсеребряным электродом сравнения. Измерения проводили в электрохимической ячейке вида:



Перед испытанием сенсорные элементы выдерживались в дистиллированной воде в течение 30 минут при комнатной температуре. Измерения проводили до установления постоянного значения разности потенциалов электродной пары с точностью  $\pm 1$  мВ. Сенсорные свойства пленок по отношению к свинцу, меди и другим металлам исследовали в модельных растворах их солей в диапазоне концентраций от  $1.5 \cdot 10^{-2}$  до  $1.5 \cdot 10^{-8}$  моль/л.

На рис. 9 *a* представлена концентрационная зависимость отклика тонкопленочного сенсорного элемента на основе пленки PbS к ионам  $\text{Pb}^{2+}$  в растворе его соли. Видно, что во всем концентрационном ряду электродная функция имеет линейный характер.

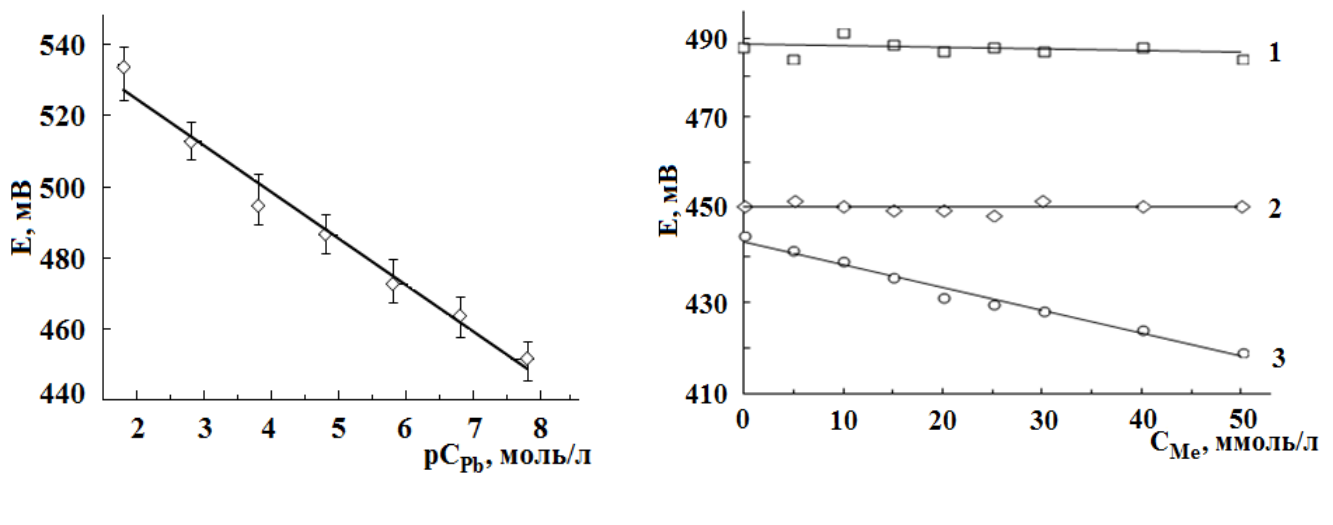


Рис. 9. Концентрационная зависимость отклика тонкопленочного сенсорного элемента на основе PbS к ионам свинца (*a*) и селективность к ионам свинца в присутствии цинка (1), никеля (2) и меди (3) (*б*)

Предел обнаружения ионов свинца в дистиллированной воде составил  $10^{-8}$  моль/л или около 0.6 мкг/л. Чувствительность составила  $18 \text{ мВ}/\text{pC}_{\text{Pb}}$ . Дрейф потенциала сенсорного элемента в течение 15 суток не превышал  $\pm 2$  мВ, время отклика составило около 30 с. Был выявлен обратимый характер процессов, протекающих на поверхности сенсорного элемента. Так, после выдержки в течение 15-30 минут в дистиллированной воде при комнатной температуре происходит практически полная регенерация сенсорных свойств, позволяющая использовать его несколько раз. Влияние на отклик к свинцу присутствия цин-

ка, никеля и меди(II) показано на рис. 9 б. Видно, что из указанных элементов мешающее влияние оказывает только медь.

С целью повышения отклика пленок PbS к свинцу было исследовано влияние на них фотоактивации видимым светом и изменение микроструктуры слоя за счет осаждения в присутствии галогенидов аммония. Пятиминутная фотоактивация пленки PbS увеличивает отклик практически вдвое. Электронно-микроскопические изображения пленок сульфида свинца, осажденных в присутствии  $\text{NH}_4\text{Cl}$ ,  $\text{NH}_4\text{Br}$ ,  $\text{NH}_4\text{I}$  представлены на рис. 10 а, 10 б, 10 в. Галогениды аммония существенно влияют на микроструктуру пленок, изменяя текстуру от выраженного кубического габитуса до плохо ограненных частиц неправильной формы в ряду  $\text{NH}_4\text{Cl}-\text{NH}_4\text{Br}-\text{NH}_4\text{I}$ . Средний размер кристаллитов при этом уменьшается от 270 до 190 нм, а удельная площадь поверхности возрастает в 1.5 раза. Рентгенограммы пленок демонстрируют резкое изменение их текстурированности от содержания в реакторе галогенидных солей (рис. 10 г). Несомненно, это отразилось на отклике пленок.

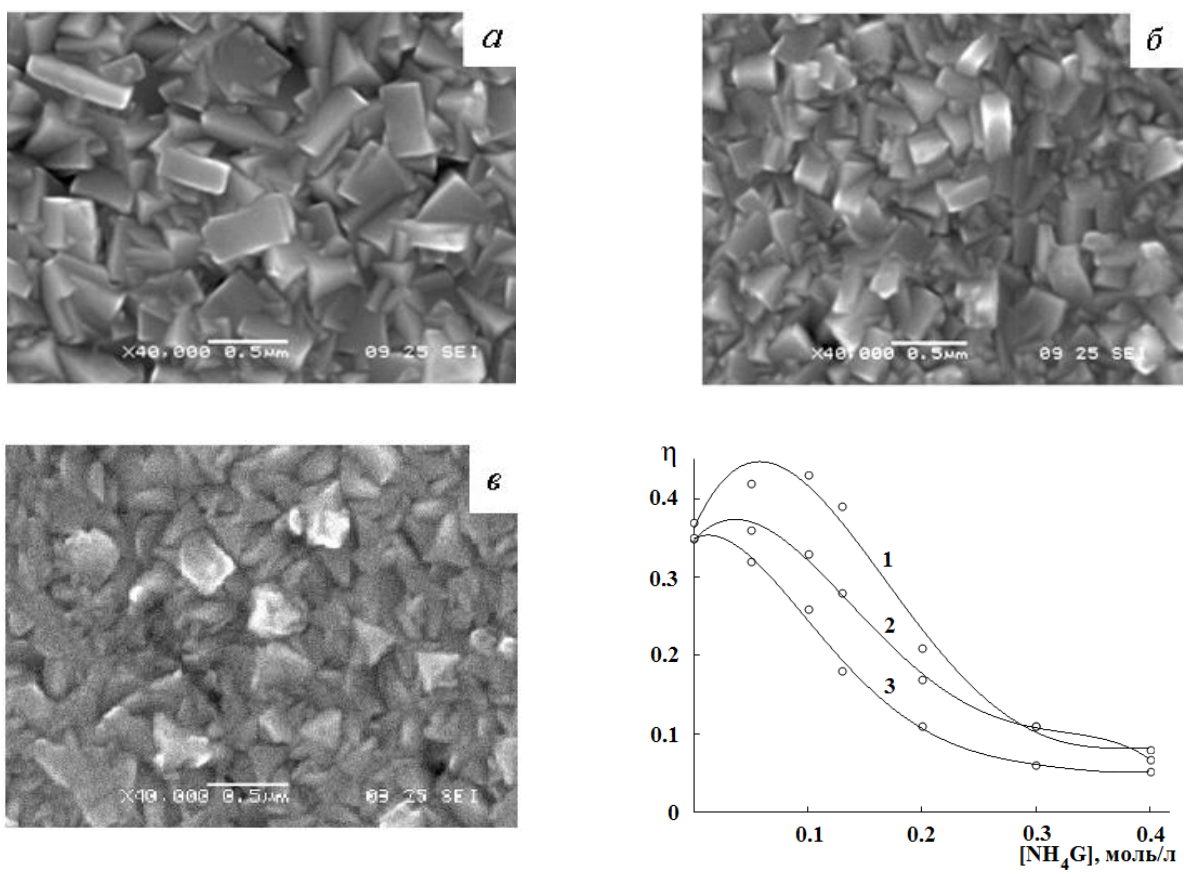


Рис. 10. Электронно-микроскопические изображения пленок PbS, допированных хлором (а), бромом (б) и йодом (в). Изменение текстурированности (г) пленок PbS от содержания в реакционном растворе  $\text{NH}_4\text{Cl}$  (1),  $\text{NH}_4\text{Br}$  (2),  $\text{NH}_4\text{I}$  (3)

Чувствительность сенсорных элементов на основе PbSe к ионам свинца в водном растворе составила 27 мВ/рC<sub>Pb</sub>. Время отклика – около 60 секунд, дрейф потенциала в т-

чение 15 суток не превышал  $\pm 3$  мВ. Присутствие в анализируемом растворе цинка, никеля, кадмия до 15 ммоль/л практически не оказalo влияние на чувствительность к свинцу.

Чувствительность сенсорного элемента на основе пленки сульфида меди (I) к ионам меди (II) составила не более 6 мВ/рС<sub>Cu</sub>, но за счет комплексообразования и восстановления меди до ее одновалентного состояния тиомочевиной, чувствительность была повышена более чем в 6 раз (рис. 11).

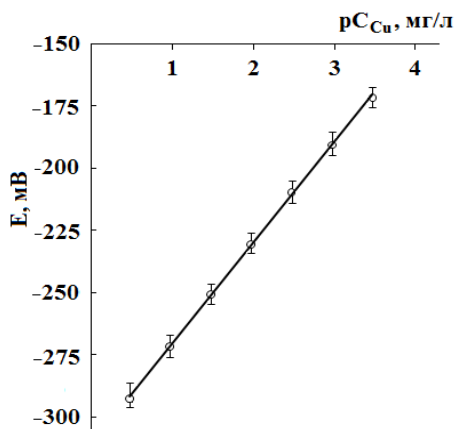


Рис. 11. Концентрационная зависимость отклика сенсорного элемента на основе  $Cu_2S$  к ионам меди в водном растворе  $CuSO_4$  при добавлении  $10^{-4}$  М тиомочевины

В работе также продемонстрирована возможность определения pH водного раствора сенсорным элементом на основе пленки теллура. Чувствительность при этом в диапазоне pH от 3.0 до 12.5 составила около 40 мВ/pH. На рис. 12 представлена электродная функция сенсорного элемента на основе пленки теллура к значению pH водного раствора.

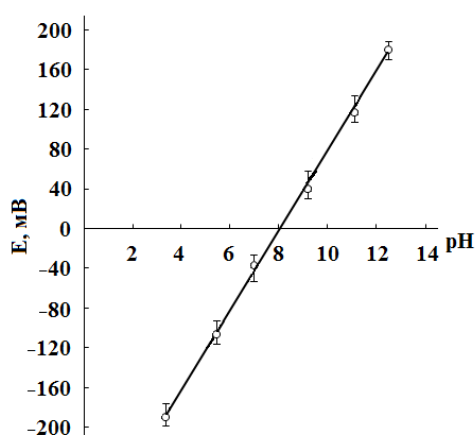


Рис.12. Электродная функция сенсорного элемента на основе пленки элементарного теллура от pH раствора

Сенсорные элементы на основе синтезированных пленок проявляют высокую поверхностную чувствительность и к ряду анионов в водных растворах. Особенно высокий отклик был получен в присутствии сульфид- (рис. 13 *a*) и фосфат-ионов (рис. 13 *б*). Получена рекордная чувствительность пленки PbS к присутствию ртути в водном растворе до 260 мВ/рС<sub>Hg</sub>. Найдены также электродные функции при определении свинца в урине (важ-

ная санитарно-производственная задача), а также результаты определения pH урины комбинированным сенсорным элементом, составленным из пленки теллура и сульфида серебра.

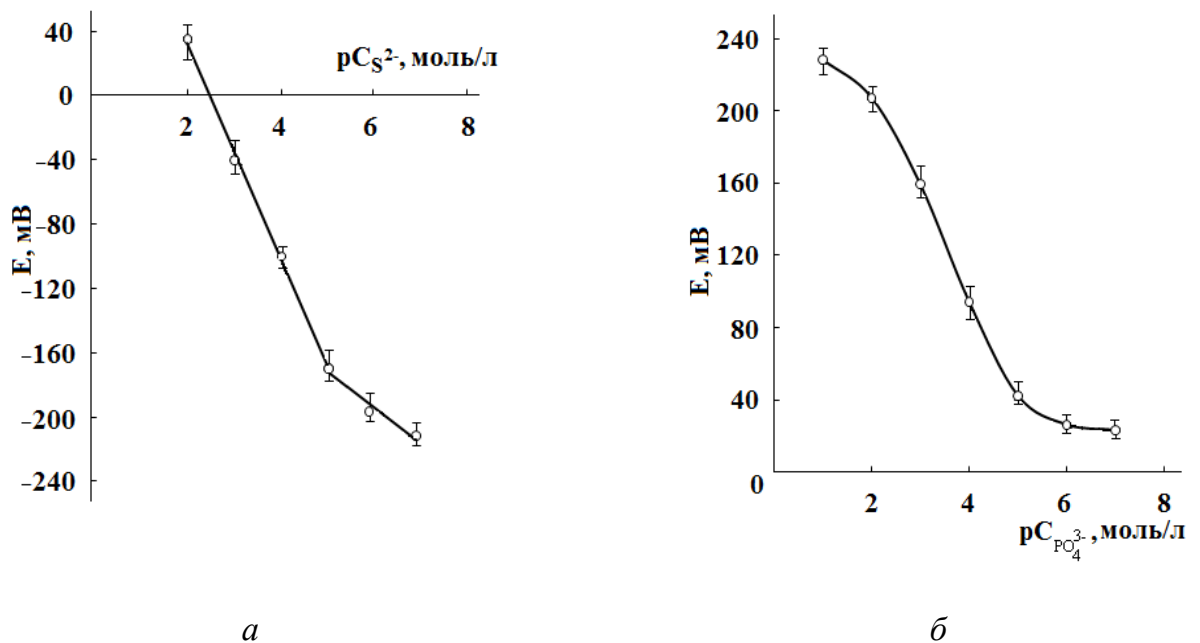


Рис. 13. Концентрационная зависимость отклика сенсорного элемента на основе PbS к сульфид- ( $\delta$ ) и фосфат-ионам ( $\beta$ )

С учетом полученных результатов рассмотрены потенциалопределяющие процессы и их механизм на границе раздела фаз “пленка халькогенида металла – водный раствор”. На рис. 14 приведена гистограмма элементного состава поверхности пленки сульфида свинца по данным РФЭ спектроскопии до и после контакта с растворами солей свинца и меди (II). Так после контакта пленки с солью свинца установлено увеличение его содержания на в поверхностном слое в форме его сульфида и оксида. После контакта пленки PbS с раствором соли меди (II) на ее поверхности была обнаружена медь в одновалентном состоянии в количестве 3.3 ат. % в составе  $Cu_2S$ , т.е. на межфазной границе при вхождении меди(II) в пленку произошло ее восстановление за счет остаточных количеств тиомочевины и продуктов ее разложения

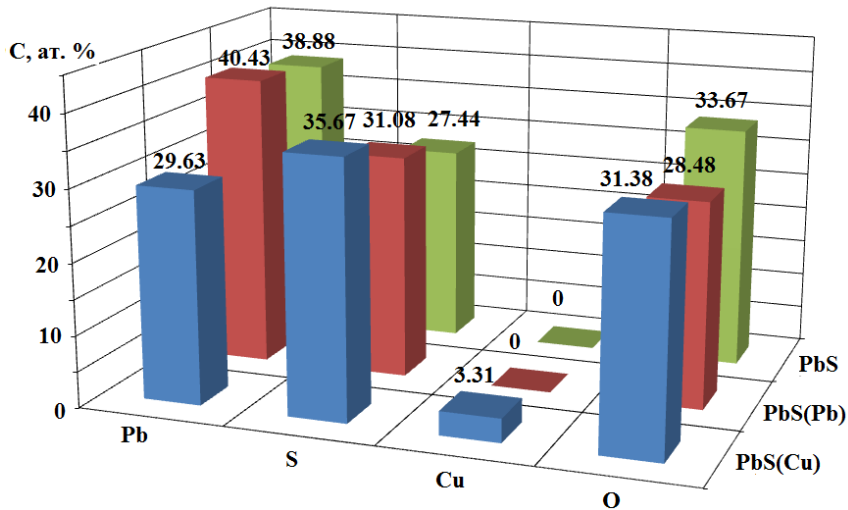


Рис.14. Результаты РФЭ-анализа поверхностного слоя PbS до и после контакта с растворами нитрата свинца PbS (Pb) и сульфата меди PbS (Cu). Угол регистрации фотоэлектронов  $90^\circ$  (глубина анализируемого слоя  $\sim 3$  нм)

Чувствительность исследованных пленок к компонентам водных растворов можно объяснить, используя представления Грэма о строении двойного электрического слоя (ДЭС) на межфазной поверхности. Можно предположить, что изменение потенциала пленки сульфида металла связано с изменением состава, в первую очередь, плотной части ДЭС

Относительную слабость образовавшейся координационной связи в поверхностном адсорбционном комплексе характеризует обратимый характер процесса при помещении пленки в дистиллированную воду. В случае присутствия в растворе меди или ртути, химическое средство которых к сульфидной сере выше свинца координационный механизм усложняется, процессами ионообменного замещения и образования химических соединений в поверхностном слое пленки, а для меди (II) дополнительно реакцией ее восстановления. Анализ полученных в работе результатов позволил выявить ряд закономерностей, связанных с величиной отклика пленок к определяемым ионам. Так определена четкая корреляция чувствительности сенсорного элемента на основе сульфида свинца к никелю, цинку, свинцу и меди (I) с показателями их произведения растворимости, что позволяет прогнозировать избирательность сенсора. Отклик пленок повышается с увеличением степени их дисперсности, а также с малыми значениями текстурированности пленок.

## ВЫВОДЫ

1. С учетом образования полиядерных комплексов свинца методом расчета ионных равновесий определены граничные условия образования сульфида свинца в цитратно-аммиачной системе, а также PbSe, исходя из доли превращения ацетата свинца при использовании тио-, селеномочевины. Впервые определены граничные условия образования сульфида меди (I) в ацетатной системе в диапазоне pH = 5.35 - 5.40. С использованием электрохимических потенциалов в системе «теллурит калия – солянокислый гидразин» установлены условия образования пленки теллура и фазы диоксида теллура во всем диапазоне pH.
2. Проведен гидрохимический синтез тонких пленок сульфида и селенида свинца, сульфида меди (I), теллура, обеспечивающий образование слоев с высокоразвитой удельной поверхностью. Выполнена их аттестация с определением структуры, элементного состава и морфологических особенностей. Установлены физико-химические взаимосвязи между составом поверхности, структурно-морфологическими особенностями гидрохимически осажденных пленок PbS, PbSe и их поверхностной чувствительностью к ионам свинца в водных растворах: так, отклик этих пленок практически линейно возрастает с увеличением удельной поверхности и уменьшением степени их текстурированности.
3. В диапазоне концентраций  $10^{-2} - 10^{-8}$  моль/л найдены электродные функции тонкопленочных сенсорных элементов на основе PbS к свинцу с пределом обнаружения до 0.6 мкг/л, что на два порядка ниже аналогичного показателя для большинства ионоселективных электродов. Определены условия, способствующие увеличению чувствительности данного сенсора вдвое за счет фотоактивации рабочей поверхности видимым светом и дипирования пленки галогенами. Определены условия воспроизводимости сенсоров в нескольких циклах “измерение-релаксация” и исследована их избирательность в присутствии 0.05 моль/л солей цинка, никеля, меди. Важно, что процессы взаимодействия “пленка халькогенида металла – водный раствор” при определенных условиях имеют обратимый характер.
4. Установлены поверхностная чувствительность пленки Cu<sub>2</sub>S к меди (II) при активной роли тиомочевины, достигающая 42 мВ/pC<sub>Cu</sub><sup>2+</sup>, а также линейный характер электродной функции пленки теллура в диапазоне pH 3.0-12.5 при чувствительности 38 мВ/pH. Предел обнаружения свинца в дистиллированной воде тонкопленочными сенсорными элементами

на основе PbSe составил около 25 мкг/л при выраженной избирательности в присутствии солей цинка, никеля, кадмия.

5. По данным РФЭ спектроскопии поверхности пленки сульфида свинца впервые установлено протекание процесса восстановления меди (II) до одновалентного состояния при переходе ее из водного раствора в фазу химически осажденной пленки сульфида свинца.

6. Выявлена поверхностная чувствительность химически осажденных пленок сульфида свинца к присутствию в водном растворе иодид-, нитрит-, фосфат-, сульфид-ионов, которая составила от 4.5 до 68 мВ/рС соответственно; чувствительность к присутствию ртути – до 260 мВ/рС. На примере определения pH биологических сред показана перспективность использования сенсорных элементов на основе комбинации двух тонкопленочных сульфидов металлов.

7. Установлена выраженная симбатная зависимость величины отклика исследованных пленок к халькофильным металлам с показателями произведения растворимости их сульфидов. Предложенные механизмы сенсорного действия исследованных пленок халькогенидов металлов основаны на представлениях о строении и составе двойного электрического слоя на межфазной границе “пленка – раствор” и химическом сродстве элементов.

### **Цитируемая литература**

1. Марков В.Ф. Расчет граничных условий образования твердой фазы сульфидов и селенидов осаждением тио- и селеномочевиной / В.Ф. Марков, Л.Н. Мaskaева // Журнал физической химии. – 2010. – Т. 84. – № 8. – С.1421-1426.

### **Основное содержание диссертации изложено в следующих публикациях**

Статьи, опубликованные в рецензируемых научных журналах, рекомендованных ВАК:

1. Катышева А.С. Применение химически осажденных тонких пленок сульфида свинца в качестве материалов датчиков контроля содержания свинца в водных средах / А.С. Катышева, В.Ф. Марков, И.В. Зарубин, Л.Н. Мaskaева, А.Ф. Никифоров // Водное хозяйство России. – 2011. – №4. – С. 64-73.

2. Марков В.Ф. Применение тонких пленок сульфида свинца, допированных галогенами, для контроля содержания ионов свинца в водных средах / В.Ф. Марков, Л.Н. Мaskaева, И.В. Зарубин, Н.В. Замараева // Вода: химия и экология. – 2012. – № 6. – С. 80-85.

3. Марков В.Ф. Гидрохимический синтез пленок халькогенидов металлов. Часть 9. Кинетика гидрохимического осаждения селенида свинца из цитратно-аммиачной системы /

В.Ф. Марков, Н.В. Замараева, И.В. Зарубин, В.М. Баканов, Л.Н. Мaskaева // Бутлеровские сообщения. – 2011. – Т. 26. – № 12. – С. 37-44.

4. Маскаева Л.Н. Определение условий гидрохимического синтеза, состав и структура пленок теллура / Л.Н. Маскаева, И.В. Зарубин, Э.Г. Вовкотруб, В.Ф. Марков // Журнал прикладной химии. – 2012. – Т. 85. – Вып. 5. – С. 729-735.

Другие публикации:

5. Зарубин И.В. Полупроводниковый сенсорный элемент для определения ионов меди / И.В. Зарубин, Л.Н. Маскаева, В.Ф. Марков // Сборник материалов Всероссийской конференции с элементами научной школы для молодежи. – Казань. – 2010. – С. 34.

6. Зарубин И.В. Применение тонких пленок халькогенидов металлов в качестве химических сенсоров / И.В. Зарубин, В.Ф. Марков // Сборник статей XVIII международной конференции молодых ученых по приоритетным направлениям развития науки и техники. – Екатеринбург. – 2010. – Ч. 2. – С. 323-324.

7. Зарубин И.В. Применение тонких пленок сульфида меди для определения ионов меди в растворе / И.В. Зарубин, В.Ф. Марков, Л.Н. Маскаева // Сборник материалов V Международной научной конференции. – Ставрополь. – 2011. – С. 16-19.

8. Зарубин И.В. Состав, структура, морфология и сенсорные свойства пленок PbS, додированных галогенами / И.В. Зарубин, Л.Н. Маскаева, В.Ф. Марков // Сборник тезисов докладов Национальной конференции «Рентгеновское, Синхротронное излучение. Нейтроны и электроны для исследования наносистем и материалов. Нано-Био-ИнфоКогнитивные технологии. – Москва. – 2011. – С. 109.

9. Зарубин И.В. Физико-химические закономерности роста пленок элементарного теллура из водных растворов / И.В. Зарубин, Л.Н. Маскаева, В.Ф. Марков // Сборник тезисов докладов XI Международной конференции “Проблемы сольватации и комплексообразования в растворах”. – Иваново. – 2011. – С. 134-135.

10. Зарубин И.В. Влияние добавок галогенидных солей на морфологию пленок PbS / И.В. Зарубин, Л.Н. Маскаева, В.Ф. Марков // Сборник трудов VII Miedzynarodowej naukowi-praktycznej konferencji “Perspektywiczne opracowania sa nauka I technikamu – 2011”. – Przemysl, Poland. – 2011. – С. 83-88.

11. Зарубин И.В. Экспресс-определение ионов свинца химическим сенсором на основе тонких пленок PbS / И.В. Зарубин, Л.Н. Маскаева, В.Ф. Марков // Труды Международного конгресса «Фундаментальные основы переработки и утилизации техногенных отходов». – Екатеринбург. – 2012. – С. 502-504.